

استفاده از دینامیک سیالات محاسباتی و روش ژئوفیزیکی در مدل‌سازی دو بعدی اکسایش پیریت و تولید زهاب اسیدی در باطله‌های زغال‌شویی

فرامرز دولتی اردده‌جانیⁱ؛ مهدی زارعⁱⁱ؛ علی مرادزادهⁱⁱⁱ

چکیده

باطله‌های بدبست آمده از شستشوی زغال‌سنگ اغلب دارای مواد سولفیدی به ویژه پیریت هستند. اکسایش پیریت در مجاورت آب و هوا سبب تشکیل زهاب اسیدی شده و نفوذ آن به آب‌های سطحی و زیرزمینی باعث آلودگی آب می‌شود. در این مقاله برای بررسی اکسایش پیریت، احتمال تولید آلودگی و نشت مواد آلاینده از باطله‌های کارخانه زغال‌شویی البرز شرقی، ابتدا به روش ژئوفیزیکی الکترومغناطیس با فرکانس خیلی پائین، وجود دو ناحیه آلوده احتمالی پایین‌تر از محل انباشت باطله زغال‌شویی تأیید گردید. سپس با استفاده از نرم افزار دینامیک سیالات محاسباتی یک مدل عددی حجم‌های محدود یک بعدی ارائه شده و نتایج مدل‌سازی با داده‌های صحرائی مقایسه شده است. پس از کالیبراسیون، مدل‌سازی در حالت دوبعدی انجام گرفته است. نتایج مدل‌سازی با نتایج بدبست آمده از تحلیل عمقی انباشت باطله برابری خوبی دارند. اکسایش پیریت و تولید زهاب اسیدی در انباشت باطله سبب افزایش غلظت برخی از عناصر می‌شود به طوری که غلظت یون سولفات در عمق ۰/۵ متری به ۳۴۹ میلی اکی والان بر لیتر رسیده و pH به مقدار ۳/۷ کاهش یافته است. بیشترین غلظت عناصر آهن، منکنز، روی، کروم و کبالت به ترتیب برابر با ۲۷۰، ۱۲۰، ۳۷۵ و ۱۰ میلی اکی والان بر لیتر در عمق ۲ متری اندازه‌گیری شده است. مطالعات انجام شده در این پژوهش می‌تواند برای طراحی برنامه مدیریت زیست‌محیطی مفید باشد.

کلمات کلیدی

حجم‌های محدود، اکسایش پیریت، البرز شرقی، ژئوفیزیک، دینامیک سیالات محاسباتی، مدل‌سازی دوبعدی.

A Computational Fluid Dynamics Method for two-Dimensional Modeling of Pyrite Oxidation and Pollutant Generation from the Coal Washing Wastes

F. Doulati Ardejani, M. Zareh, A. Moradzadeh

ABSTRACT

Coal washing operation results in the generation of large amounts of waste materials containing pyrite. Rapid oxidation of pyrite in the presence of oxygen and moisture produces acid mine drainage. Such acidic drainages cause surface and groundwater pollution. In this study, a very low frequency (VLF) electromagnetic method was used to investigate the likely polluted zones due to leaching from the Alborz Sharghi coal washing waste dump. The geophysical VLF method indicated two low resistivity zones in

ⁱدانشیار دانشکده مهندسی معدن، نفت و ژئوفیزیک، دانشگاه صنعتی شهرورد؛ fdoulati@shahroodut.ac.ir

ⁱⁱکارشناس ارشد اکتشاف معدن، دانشگاه صنعتی شهرورد؛ Mehdi_zare001@yahoo.com

ⁱⁱⁱدانشیار دانشکده مهندسی معدن، نفت و ژئوفیزیک، دانشگاه صنعتی شهرورد؛ amoradzadeh@shahroodut.ac.ir



downstream of the waste dump. A one-dimensional numerical finite volume model was developed using a computational fluid dynamics (CFD) package to simulate pyrite oxidation and pollution generation from the coal washing wastes. For calibration purpose, the modeling accuracy was tested with the results obtained from the field data. A two-dimensional simulation was also performed to predict pyrite oxidation and transportation of the oxidation products from the dump. Pyrite oxidation and acid mine drainage in the waste dump has resulted in a pick concentration of SO_4 (349 m.e/L) and low pH (pH=3.7) at depth 0.5 m. The elevated concentrations of metals (Fe= 270 m.e/L, Mn= 120 m.e/L, Zn= 375 m.e/L, Cr=25 m.e/L and Co= 10 m.e/L) were found at depth 2 m. Such investigations are necessary for designing an effective environmental management program.

KEYWORDS

Finite volume, pyrite oxidation, Alborz sharghi, VLF, CFD, two dimensional modeling.

خنثی‌ساز روی جابجایی اسید و محصولات اکسایش در روبارهای معدنی را مدل کرده‌اند. مدل فرآیندهایی مانند جریان غیراشباع آب، نفوذ اکسیژن و مغزه انقباضی برای اکسایش پیریت، شامل انتقال واکنشی آلائیندها و واکنش‌های تعادل ژئوشیمیائی بین اجزاء فاز آبی و کانی می‌شود. ولی این مدل برای توده‌های باطله هتروژن یک معدن پیریتی طراحی شده است و برای مدل‌سازی اکسایش پیریت، تولید AMD و انتقال آلائیندها از محل‌های انباست باطله‌های بدبست آمده از شست‌و‌شوی زغال مناسب نیست [۱۰]. مدل مانکور و همکاران [۱۱] توپاست فرآیندهای اکسایش کانی‌های سولفیدی به‌ویژه پیریت، آزاد شدن و انتقال محصولات اکسایش شامل فلزات سنگین را در باطله‌های قدیمی بدبست آمده از فرآوری مواد معدنی فلزی در منطقه شریدون، مانیتوبا کشور کانادا مدل‌سازی نماید ولی این مدل برای توضیح فرآیندهای اکسایش پیریت و انتقال محصولات اکسایش در محل انباست باطله‌های بدبست آمده از شست‌و‌شوی زغال‌سنگ مناسب نیست.

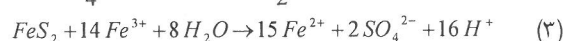
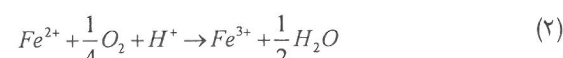
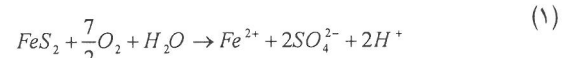
با بررسی نتایج مدل‌های طراحی شده به وسیله سایر محققین و مقایسه آن‌ها با مدل این پژوهش می‌توان فهمید که مدل‌های موجود اغلب برای محل‌های انباست سنگ‌های باطله با دانه درشت، باطله‌های پرکننده معادن روباز نواری و باطله‌های فرآوری مواد معدنی فلزی محدود می‌شوند و برای بررسی فرآیندهای اکسایش پیریت و انتقال محصولات اکسایش در محل‌های انباست مناسب نیستند.

در سال‌های اخیر استفاده از نرم‌افزارهای محاسباتی دینامیک سیالات (CFD)، ابزار مفیدی برای مطالعات زیست-محیطی در فعالیت‌های معدنی است. با استفاده از نرم‌افزار تجاری PHOENICS [۱۲] که از نرم افزارهای مهم CFD است، پیش‌بینی فرآیندهای اکسایش و تولید آلودگی معادن ممکن شده است و حساسیت برخی از عوامل موثر روی میزان آلودگی مورد تحلیل قرار گرفته‌اند [۱۴، ۱۳]. در ایران برخی از روش‌های مدل‌سازی یک بعدی ریاضی برای بررسی

۱- مقدمه

به دلیل وجود ناخالصی در زغال استخراجی، شست‌و‌شوی آنها ضروری است. در فرآیند زغال‌شوی، مقداری از مواد معدنی با عیار و کیفیت پایین‌تر که دارای مواد سولفیدی به ویژه پیریت هستند به صورت باطله جدا می‌شود. انباست باطله‌ها در مجاورت آب و هوا باعث تغییر ترکیبات آن‌ها شده و مواد سمی و خطرناک موجود در آن‌ها به محیط اطراف خود می‌روند [۲۱].

یکی از مهم‌ترین مشکلات زیست‌محیطی ناشی از انباست باطله‌های زغال، تولید زهاب اسیدی معدن (AMD)^۱ است. به طور کلی AMD از اکسایش مستقیم پیریت با اکسیژن و آب طبق واکنش‌های (۱) تا (۳)، بدبست می‌آید که نتیجه آن تولید Fe^{2+} , SO_4^{2-} و H^+ است [۵، ۶، ۷].

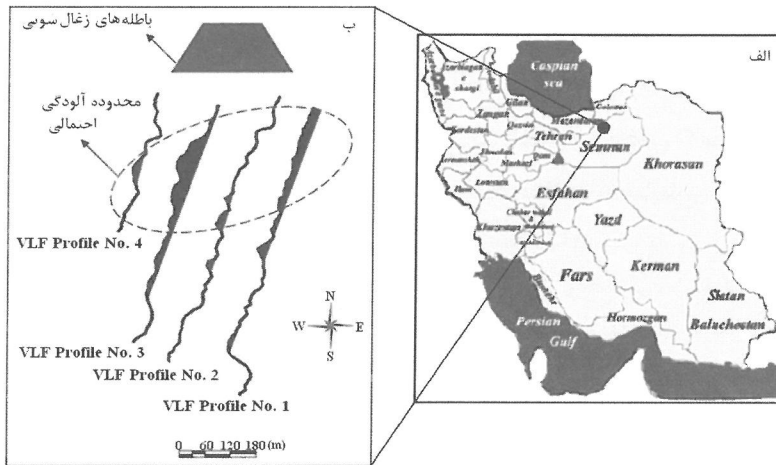


بررسی‌های زیاری در زمینه طراحی مدل یک بعدی مناسب برای توضیح فرآیندهای اکسایش پیریت و کانی‌های سولفیدی دیگر و شست‌و‌شوی محصولات اکسایش به وسیله روگونشکی و همکاران در سال ۱۹۷۷ انجام گرفته است [۸]. کاسلس و اپس در سال ۱۹۷۵ مدل یک بعدی از فرآیندهای اکسایش و لیچینگ را با در نظر گرفتن دما، یکسان بودن مقدار اکسیژن و انتقال هوا طراحی نمودند [۷]. جینز در سال ۱۹۸۴ مدلی برای اکسایش پیریت و شست و شوی یک بعدی فرآوردهای اکسایش آن در معادن زغال روباز نواری طراحی کرده است [۸]. دیویس و ریچی در سال ۱۹۸۶ مدل یک بعدی اکسایش پیریت در محل انباست سنگ‌های باطله درشت دانه مس را با در نظر گرفتن نفوذ اکسیژن طراحی نموده‌اند [۹]. گرک و همکاران اثرات توزیع فضایی مناطق اکسید شده، مقادیر پیریت و کانی‌های

۲- موقعیت جغرافیایی و زمین‌شناسی منطقه

منطقه زغالی البرزشرقی در ۲۵ کیلومتری شمال شرقی دامغان و با فاصله تقریبی ۷۵ کیلومتری از شهرود در استان سمنان واقع شده است. در این منطقه، پدیده‌های تکتونیکی بیش‌تر دارای روند شرقی- غربی است. مهم‌ترین و فراوان‌ترین ماده معدنی منطقه، زغال‌سنگ است که در تنابه‌های شیلی سازند شمشک (مربوط به ژوراسیک) در سرتاسر منطقه به شکل رگه‌ها و عدسی‌های گسترش یافته است [۱۷]. زغال‌سنگ این منطقه با ظرفیت ۶۵۰ هزار تن در سال به کارخانه زغال-شویی البرزشرقی برای تغذیه ارسال می‌شود و حدود نصف مواد ورودی، به صورت باطله در اطراف کارخانه تنبار می‌شود. این کارخانه در شمال شرقی دامغان و کیلومتر ۵۷ شاهروند، بین مناطق مهماندوست و طزره قرار گرفته است.

(شکل ۱).

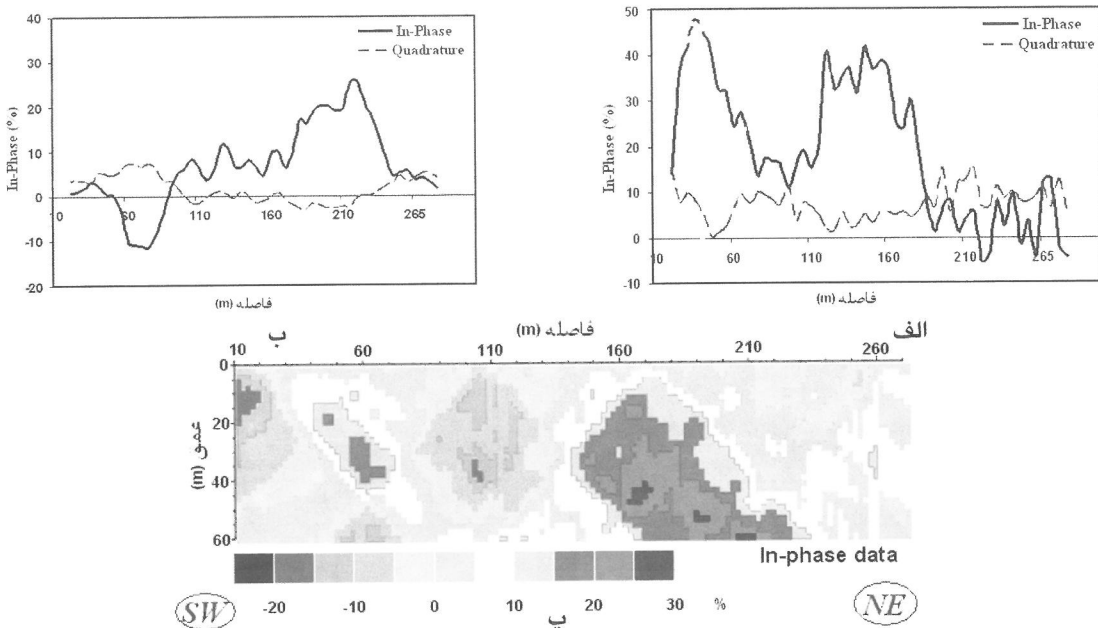


شکل (۱): (الف) موقعیت جغرافیایی منطقه (ب) نمایی از پروفیل‌های VLF اندازه‌گیری شده نسبت به انباشت باطله زغال و گسترش زون آلدگی

[۲۰] با عمق فیلتر ۶۰ متر انتخاب شده است و وجود آلدگی در پایین‌دست انباشت باطله به خوبی مشخص گردید. شکل (۱) موقعیت پروفیل‌های VLF را نسبت به انباشت باطله نشان می‌دهد. در شکل (۲) نتایج مدل‌سازی پروفیل سوم آورده شده است که به خوبی می‌توان وجود دو ناحیه با مقاومت ویژه کم که دلیل وجود آلدگی احتمالی در منطقه است را مشاهده کرد. اولین ناحیه در فاصله ۳۰ تا ۷۰ متری و تا عمق ۴۵ متری گسترش یافته است. ناحیه دوم در فاصله ۱۴۰ تا ۲۴۰ متری قرار دارد و گستردگی آن به دلیل نزدیکی به محل انباشت، نسبت به ناحیه اول بیش‌تر و اعمق پایین‌تر است. در این ناحیه به خوبی وجود آلدگی دیده می‌شود که ممکن است بیشترین آلدگی سطحی در منطقه باشد.

۳- مطالعات ژئوفیزیک زیست‌محیطی

مطالعات ژئوفیزیک زیست‌محیطی با اندازه‌گیری‌های VLF [۱۸] برای تعیین مناطق آلدگی ناشی از اکسایش پیریت انباشت باطله زغال‌شویی، در امتداد چهار پروفیل به فواصل ۳۰ متر و نقاط اندازه‌گیری ۵ متر در پایین‌دست انباشت باطله انجام گرفته است. انتخاب روش VLF به دلیل مناسب بودن، سادگی روش، سرعت عمل و کم هزینه بودن آن است. در ادامه داده‌های اندازه‌گیری شده با نرم‌افزار تخصصی RAMAG [۱۹]، تجزیه و تحلیل خواهد شد. مدل‌های تهیه شده شامل نمودارهای اولیه داده‌ها، نمودارهای فیلتر شده داده‌ها و شبه مقاطع عرضی چگالی جریان هستند. در تهیه مدل‌ها، فیلتر کاروس- هجلت



شکل (۲): نتایج حاصل از پروفیل ۳، (الف) نمودار خام داده‌های VLF (مؤلفه حقیقی و مجازی)، (ب) نمودار فیلتر شده داده‌های VLF (مؤلفه حقیقی و مجازی)، (پ) شبیه مقطع عرضی چکالی جریان (مؤلفه حقیقی)

۵- مدل‌سازی ریاضی اکسایش پیریت و انتقال

محصولات اکسایش

فرآیندهای اکسایش پیریت و انتقال محصولات اکسایش از محل انباشت باطله‌های زغال‌شویی با استفاده از روش حجم‌های محدود و به کمک نرم افزار PHOENICS مدل‌سازی شده است.

معروف‌ترین مدلی که می‌تواند فرآیند اکسید شدن پیریت یا نرخ شستن آن را در باطله‌های دارای پیریت شرح دهد، مدل مغزه انتقباضی است که اولین بار به وسیله لونشپیل ارائه شده است [۲۳]. شکل (۳)، مدل مفهومی اکسید شدن پیریت را نشان می‌دهد.

معادلات دیفرانسیل مربوط به نفوذ اکسیژن در باطله‌ها، مدل مغزه انتقباضی و مدل انتقال محصولات اکسایش با در نظر گرفتن عبارتهای تولید و مصرف حجمی هر متغیر با توجه به واکنش‌های (۱) تا (۳)، به صورت روابط (۴)، (۵) و (۶) ارائه می‌شوند [۸]:

$$\phi_a \frac{\partial u}{\partial t} = D_1 \frac{\partial^2 u}{\partial z^2} - \frac{3(1-\phi)h^{-1} \rho_{p_2} X^{\frac{2}{3}}}{6\tau_D X^{\frac{1}{3}} \left(1 - X^{\frac{1}{3}}\right) + \tau_C} - \phi_w b'^{-1} [Fe^{2+}] u \left\{ K_1 \left(\frac{1}{[H^+]} \right)^2 + K_2 \right\}$$

۴- تعیین میزان پیریت باقی‌مانده

برای بررسی فرآیند اکسایش پیریت و تولید AMD در محل انباشت باطله‌های دارای پیریت، از باطله‌ها نمونه‌برداری عمقی شده است. نمونه‌های معرف تا عمق $2/25$ متری و به فواصل $0/25$ متر در دو محل بر روی محل انباشت باطله برداشته شده‌اند. نمونه‌ها هر یک وزنی برابر با یک کیلوگرم داشتند. آماده‌سازی نمونه‌ها در چند مرحله در آزمایشگاه کانه‌آرائی دانشگاه صنعتی شاهرود صورت پذیرفت که عبارتند از:

- خشک کردن نمونه‌ها به مدت ۲ روز در دسیکاتور با دمای ۱۰۵ درجه سانتی‌گراد
- تقسیم‌بندی نمونه‌های خشک شده به دو نوع نمونه‌های آزمایش و شاهد
- خردایش نمونه‌های آزمایش با استفاده از سنگ‌شکن فکی و غلطکی به طوری که همه ذرات نمونه از سرند ۲۰ مش عبور کنند.

تجزیه سرندی و انتخاب نمونه‌های معرف زیر سرند ۲۰۰ مش برای تعیین درصد پیریت باقی‌مانده در نمونه‌ها برای تعیین درصد پیریت باقی‌مانده در نمونه، از دستگاه جذب اتمی مدل AA-670 و طبق دستورالعمل STM استفاده گردید [۲۱]. در این روش سولفات‌ها بر عکس پیریت در اسید کلریدریک رقیق حل می‌شوند و با استفاده از اسید نیتریک رقیق می‌توان پیریت را به صورت محلول از باطله‌های زغال خارج نمود. با اندازه‌گیری مقدار آهن موجود در محلول به روش جذب اتمی، می‌توان مقدار پیریت را محاسبه نمود [۲۲].

اکسیژن

b_1 : نسبت استوکیومتری مصرف پیریت به مصرف آهن
سه ظرفیتی (یا تولید محصولات اکسایش)

$D_{e[Ox]}$: ضریب نفوذ موثر ماده اکسید کننده در هاله اکسید
شده اطراف هر ذره (m^2 / s)

(m/s): ثابت سینتیک مرتبه اول برای واکنش سطحی

α_{Py}^{rock} : سطح پیریت به واحد حجم ذرات باطله (m^{-1})

λ : ضخامتی از ذره که در آن واکنش اکسایش پیریت اتفاق می‌افتد (عمق پوسته واکشی) (m)

$C_{[Ox]}$: غلظت ماده اکسید کننده در فیلم آب اطراف ذرات
حاوی پیریت (mol / m^3)

ϕ : تخلخل باطله‌ها (m^3 / m^3)

ϕ_a : تخلخل هوادار (m^3 / m^3)

ϕ_w : تخلخل آبدار (m^3 / m^3)

(m): عمق Z

x_j : مختصات دکارتی (m)

D_1 : ضریب نفوذ موثر اکسیژن در باطله‌ها (m^2 / s)

u : غلظت اکسیژن در فضاهای خالی باطله‌ها (فاز گازی)
غلظت اکسیژن در فضاهای خالی باطله‌ها به وسیله قانون هنری، طبق رابطه (۹)، به غلظت آن در فاز مایع تبدیل می‌شود

$$C_{[Ox]} = \gamma u \quad [9]$$

در رابطه فوق:

$C_{[Ox]}$: غلظت اکسیژن در فاز مایع

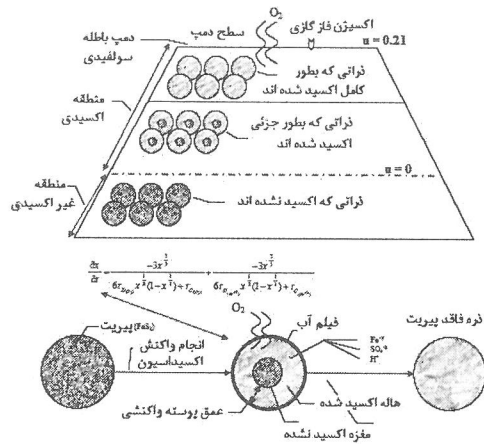
u : غلظت گاز اکسیژن در فضاهای خالی باطله‌ها
 γ : عامل تبدیل یا ثابت هنری

۵- محدودیت‌های مدل

نفوذ گازی تنها فرآیند تولید کننده اکسیژن در اعمق مختلف محل انباشت باطله‌ها است. این مدل واکنش شیمیایی بین تولید شده و مواد باطله را در نظر نمی‌گیرد. از وجود باکتری‌های اکسیدکننده آهن دو ظرفیتی صرف‌نظر شده و اکسایش شیمیایی آهن دو ظرفیتی تنها فرآیند تولید کننده آهن سه ظرفیتی در محل انباشت باطله‌های دارای پیریت است که در آنجا اکسیژن وجود دارد.

۶- پارامترهای ورودی مدل

تحت فشار اتمسفر و دمای ۲۵ درجه سانتی‌گراد، غلظت اکسیژن در قسمت فوقانی محل انباشت ۹ مول بر متر مکعب



شکل (۳): مدل مفهومی فرآیند اکسایش پیریت در باطله‌های دارای کانی پیریت

$$\frac{\partial X}{\partial t} = \frac{-3X^{\frac{2}{3}}}{6\tau_{D_{[Ox]}} X^{\frac{1}{3}} \left(1-X^{\frac{1}{3}}\right) + \tau_{C_{[Ox]}}} + \frac{-3X^{\frac{2}{3}}}{6\tau_{D_{[Ox]}} X^{\frac{1}{3}} \left(1-X^{\frac{1}{3}}\right) + \tau_{C_{[Ox]}}} \quad (5)$$

$$\phi \frac{\partial C_i}{\partial t} = D \frac{\partial^2 C_i}{\partial x_j^2} - q_j \frac{\partial C_i}{\partial x_j} \pm \frac{3(1-\phi)b_1^{-1}\rho_{Py}X^{\frac{2}{3}}}{6\tau_{D_{[Ox]}} X^{\frac{1}{3}} \left(1-X^{\frac{1}{3}}\right) + \tau_{C_{[Ox]}}} \\ \pm \phi_{H'} [Fe^{2+}] u \left\{ K_1 \left(\frac{1}{[H^+]} \right)^2 + K_2 \right\} \quad i = 1, 2, \dots, n_c \quad (6)$$

مقادیر τ_D و τ_C از روابط (۷) و (۸) به دست می‌آیند [۲۳]:

$$\tau_D = \frac{\rho_{Py} R^2}{6b D_{e[Ox]} C_{[Ox]}} \quad (7)$$

$$\tau_C = \frac{\rho_{Py} R}{b K_{[Ox]} \alpha_{Py}^{revk} \lambda C_{[Ox]}} \quad (8)$$

در روابط فوق،

X: کسر (یا درصد) پیریت باقی‌مانده در داخل ذره (Kg/Kg)

t: زمان (s)

τ_C : کل زمان مورد نیاز برای اکسایش کامل پیریت درون یک ذره، در صورتی که فرآیند اکسایش فقط به وسیله کاهش سطح پیریت یا سینتیک واکنش سطحی هدایت شود (s)

τ_D : کل زمان مورد نیاز برای اکسایش کامل پیریت درون یک ذره، در صورتی که فرآیند اکسایش فقط به وسیله نفوذ ماده اکسید کننده به داخل ذره دارای پیریت هدایت شود (s)

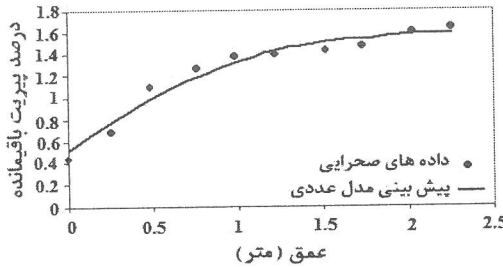
Oxd: ماده اکسید کننده (اکسیژن و یا آهن سه ظرفیتی)

(mol / m³): دانسیته مولی پیریت داخل ذرات (ρ_{Py})

R: شعاع ذرات دارای پیریت (m)

b: نسبت استوکیومتری مصرف پیریت به اکسیژن (mol/mol)

b': نسبت استوکیومتری مصرف آهن دو ظرفیتی به



شکل (۴): مقایسه نتایج مدلسازی و داده‌های صحرایی (ضریب نفوذ موثر 6×10^{-7} متر مربع بر ثانیه، مدت زمان شبیه‌سازی ۱ سال و درصد اولیه پیریت در باطله‌ها $1/4$ تا $1/6$ در نظر گرفته شدند)

برابری مناسب بین داده‌های صحرایی و نتایج مدل، نشان-دهنده انتخاب صحیح پارامترهای ورودی و توانای بودن مدل در شبیه‌سازی فرآیندهای مؤثر در اکسایش پیریت است. تحلیل داده‌ها به روش جذب اتمی [۲۱] نشان می‌دهد که مقدار پیریت باقی‌مانده در نمونه‌های سطحی حدود 58% درصد است. نفوذ اکسیژن تا عمق تقریبی $1/5$ متر و انجام فرآیندهای اکسایش و شستشو، مقدار پیریت موجود در باطله‌ها را کاهش می‌دهد. پایین‌تر از این عمق به دلیل عدم نفوذ اکسیژن، اکسایش پیریت تا اندازه‌ای متوقف می‌شود. مناسب‌ترین مقدار ضریب نفوذ موثر برای مدلسازی (D_e) برابر 6×10^{-7} مترمربع بر ثانیه استخراج گردید. مدل نیز روند مشابه‌ای را برای تغییرات پیریت باقی‌مانده از سطح محل انباشت تا عمق تقریبی $1/5$ متری نشان می‌دهد. از عمق $1/5$ متر به پایین پیریت در باطله‌ها به مقدار اولیه خود ($1/4$ تا $1/6$ درصد) می‌رسد.

۵- مدلسازی دو بعدی - پیش‌بینی فرآیندهای اکسایش و انتقال محصولات آن

مدلسازی دو بعدی برای پیش‌بینی دقیق‌تر فرآیند اکسایش پیریت و همچنین چگونگی انتقال محصولات بدست آمده از انباشت باطله زغال‌شویی البرز شرقی انجام شده است. پارامترهای ورودی در مدلسازی دو بعدی، مشابه پارامترهای مورد استفاده در مدلسازی یک بعدی انتخاب گردید (جدول ۱). در مدلسازی دو بعدی، غلظت‌های اولیه و منبع گونه‌های شیمیایی Fe^{2+} ، Fe^{3+} و SO_4^{2-} به ترتیب $(10, 10, 10)$ مول بر متر مکعب و مقدار pH به ترتیب 7 و $6/5$ انتخاب گردید. مدل دو بعدی، به شکل ذوزنقه‌ای با ابعاد 100×100 متر در جهت افقی و 20 متر در جهت قائم (ارتفاع محل انباشت) در نظر گرفته شده است. این مدل با سلول‌های کوچک‌تری به اندازه $2 \times 10^{-7} m^2/s$ تقسیم‌بندی گردید. شبکه المان حجمی محدود مورد استفاده در مدلسازی در شکل (۵) نشان داده شده است.

(برابر با ۲۱٪ درصد) در نظر گرفته شده است که برابر کسر مولی اکسیژن در هوا است. فرض شده که در ابتدا و قبل از آغاز فرآیند اکسایش پیریت، اکسیژنی در خل و فرج باطله‌ها وجود ندارد. پارامترهای ورودی مدل در جدول (۱) آورده شده است [۲۴].

۵-۳- مدلسازی یک بعدی - کالیبراسیون مدل

برای کالیبره نمودن مدل، شبیه‌سازی در حالت یک بعدی انجام شده است. برای این منظور، از مدل آماده‌ای که برای پیش‌بینی اکسایش یک بعدی پیریت موجود در باطله‌های بدست آمده از شستشوی زغال در منطقه البرز‌شرقی تهیه شده بود، استفاده گردید [۱۵]. با در نظر گرفتن پارامترهای ورودی مدل (جدول ۱) و با توجه به مفهوم سینتیک واکنش مرتبه اول در همزمان تحت گام‌های زمانی مختلف و با در نظر گرفتن مفهوم کاهش سطح پیریت ضمن انجام فعالیت‌های اکسایش، با استفاده از روش عددی حجم‌های محدود توسط نرم افزار PHOENICS حل شدند.

جدول (۱): پارامترهای ورودی مدل یک بعدی [۲۴]

مشخصه مدل	مقدار / واحد
طول مدل	$2/5$ متر (در امتداد Z)
مدت زمان شبیه‌سازی	۱-۳ سال
تعداد گام‌های زمانی	۲۴
بستگی زمانی مدل	نایابا
تعداد المان‌های حجمی	20 (طول یکسان $0/17$ متر)
ضریب نفوذ مؤثر اکسیژن	$1 \times 10^{-8} m^2/s$
درصد اولیه پیریت در باطله‌ها	$(1/3\% - 1/6\%)$
دانسیتی باطله	$2200 kg/m^3$
دانسیتی پیریت	$5900 kg/m^3$
ضریب نفوذ پذیری باطله	2×10^{-7}
سطح پیریت به حجم باطله	90 (۱/m)
ثابت سینتیک مرتبه اول برای O_2	$2/21 \times 10^{-9} (mol O_2/m^2 s)$
ثابت سینتیک مرتبه اول برای FeS_2	$5/9 \times 10^{-10} (mol FeS_2/m^2 s)$
بارندگی متوسط سالیانه	$0/25 (m/yr)$
تعداد تکرارها	۵۰۰

شکل (۴) نتیجه مدلسازی عددی یک بعدی برای مقدار پیریت باقی‌مانده در باطله‌های محل انباشت نسبت به عمق را با داده‌های تجزیه‌ای مربوط به یک محل نمونه‌برداری، در مدت زمان شبیه‌سازی یک سال از آغاز اکسایش پیریت، مقایسه می‌نماید.

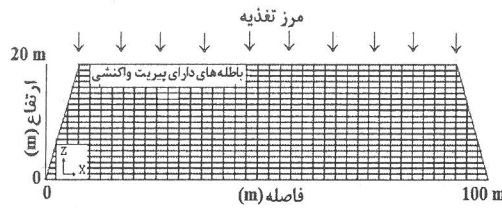
زغال است. شکل (۶-پ) تغییرات pH را پس از مدت زمان یکسال از شروع مدل‌سازی نشان می‌دهد. همان‌طور که در شکل نشان داده شده است، pH در اعماق کم به مقدار $2/8$ می‌رسد که این امر ناشی از واکنش اکسیژن با پیریت و تشکیل AMD است. مقدار pH در جهت عمق افزایش می‌یابد و به مقدار pH زمینه‌اش برابر با مقدار تقریبی 7 می‌رسد. این نتیجه با اندازه‌گیری شده در انباست باطله و در اعماق مختلف آن برابری مناسبی دارد.

شکل (۶-ت) غلظت سولفات پیش‌بینی شده به وسیله مدل را برای مدت زمان شبیه‌سازی یک سال نشان می‌دهد. بیشترین مقدار SO_4^{2-} در مکانی است که اکسیژن در آنجا وجود دارد. همان‌طور که در شکل دیده می‌شود، بیشترین مقدار SO_4^{2-} برابر با 400 مول بر متر مکعب است که در مدل با غلظت رنگی بالا قابل تشخیص است. مقدار سولفات‌تولیدی با فرآیندهای فیزیکی مانند پراکندگی، نفوذ مولکولی، پهنرفت و بارش جوی

به اعماق بیشتر نفوذ کرده و عمل رقیق‌سازی انجام می‌شود. شکل (۶-ث) غلظت آهن دو ظرفیتی (Fe^{2+}) را پس از مدت زمان یک سال از آغاز مدل‌سازی نشان می‌دهد. یک غلظت بیشینه برای Fe^{2+} (حدود 300 m.e/L) در مکانی که اکسیژن وجود دارد، رخ داده است و در جهت عمق به دلیل نفوذ کم اکسیژن، مقدار آن به شدت کاهش می‌یابد.

پیش‌بینی مدل دو بعدی برای غلظت آهن سه ظرفیتی (Fe^{3+}) برای مدت زمان مدل‌سازی یک سال در شکل (۶-ج) نشان داده شده است. با توجه به اینکه در نبود باکتری‌های تیوباسیلوس فرو اکسیدان، تولید Fe^{3+} به کندی رخ می‌دهد، بنابراین نقش Fe^{3+} در اکسایش پیریت کم است. غلظت Fe^{3+} محدود شده است به جایی که اکسیژن در میان خال و فرج نفوذ کرده باشد.

نتایج مدل‌سازی یک و دو بعدی ریاضی و مقایسه آن‌ها با نتایج صحرایی برای تعیین پیریت باقی‌مانده در باطله‌های زغال‌شویی البرز شرقی و همچنین مقایسه آن‌ها با نتایج تحلیل عمقی (جدول ۲) به دست آمده برای عناصر مختلف در یک نقطه بر روی محل انباست باطله‌ها، نشان‌دهنده اکسایش پیریت، تولید AMD و نشت محصولات اکسایش به مناطق پایین دست و به ویژه منابع آب زیرزمینی است که به تنهایی می‌تواند محیط‌زیست منطقه را تهدید نماید. این نتایج با نتایج بدست آمده از روش VLF همخوانی دارد. مطالعات قبلی انجام شده در منطقه و نتایج بدست آمده از مدل‌سازی یک بعدی فرآیند اکسایش پیریت [۱۵]، نتایج به دست آمده در تحقیق فوق را تأیید می‌نماید.



شکل (۵): مدل انباست باطله کارخانه زغال‌شویی البرز شرقی

در شبیه‌سازی فوق فرض شده است که واکنش پیریت فقط پهنه‌ای 25 متر از انباست باطله را شامل می‌شود. همچنین فرض بر این است که سطح آب زیرزمینی خیلی پائین‌تر از قاعده محل انباست است و محصولات ناشی از اکسایش با بارش جوی به اعماق پایین‌تر نفوذ می‌نماید. میانگین بارش سالیانه در مدل‌سازی $0/25$ متر بر سال فرض شده است. نفوذ پذیری باطله‌ها حدود 2×10^{-6} متر بر ثانیه به دست آمد و در محاسبات مورد استفاده قرار گرفت. ضریب نفوذ مولکولی برای محصولات اکسایش $10^{-9} \times 2$ متر مربع بر ثانیه و ضریب پراکندگی طولی و عرضی، 2 متر در نظر گرفته شده است. فرض بر این است که تغییرات دمایی در اثر فرآیندهای اکسایش پیریت کم باشد. مقدار اکسیژن در قسمت بالایی محل انباست برابر با مقدار آن در اتمسفر که مقدار 9 مول بر متر مکعب یا معادل $0/21$ درصد است، در نظر گرفته شده و فرض گردید که درصد اولیه اکسیژن در انباست باطله صفر باشد.

شکل (۶-الف) پیش‌بینی مدل دو بعدی برای نفوذ اکسیژن درون باطله‌ها را نشان می‌دهد. در این مدل فرض شده است که انتقال اکسیژن از طریق فضاهای خالی انباست باطله با ضریب نفوذ مؤثر اکسیژن صورت می‌گیرد. همان‌طور که در شکل دیده می‌شود، اکسیژن از مقدار اولیه خود یعنی 9 مول بر متر مکعب ($0/21$ درصد) در اتمسفر به مقدار کمتر از 3 مول بر متر مکعب ($0/07$ درصد) در عمق تقریبی 2 متر می‌رسد. علت عدم نفوذ اکسیژن به اعماق بیشتر، دانه‌ریز بودن باطله‌های دارای پیریت است.

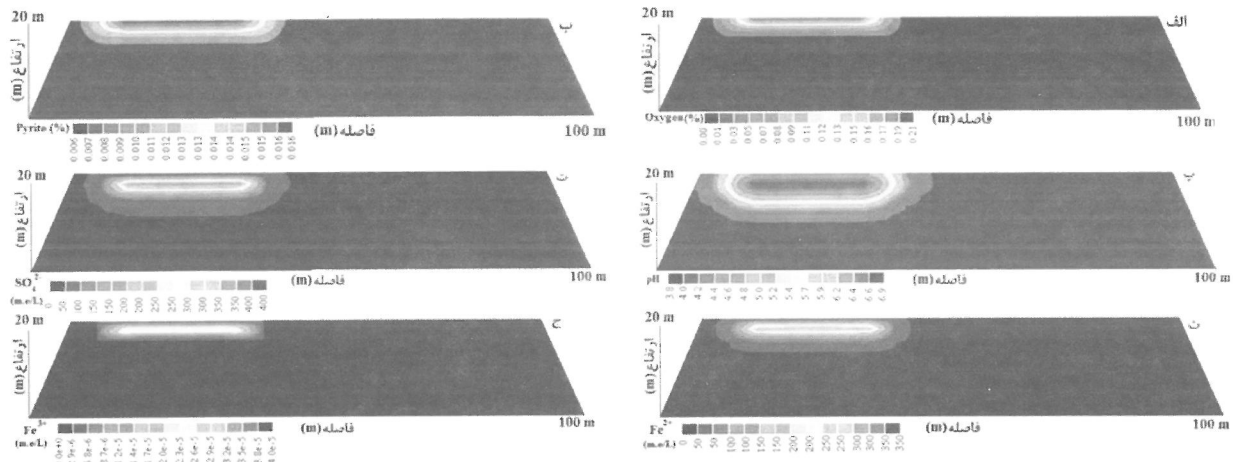
شکل (۶-ب) نتیجه مدل‌سازی دو بعدی مربوط به درصد پیریت باقی‌مانده در باطله‌های زغال‌شویی برای مدت زمان شبیه‌سازی یک سال را نشان می‌دهد. همان‌طور که دیده می‌شود، اکسایش پیریت در اعماقی صورت می‌گیرد که اکسیژن نفوذ کرده است، به طوری که پیریت در سطح انباست به دلیل وجود اکسیژن به مقدار $0/006$ کاهش یافته است و در جهت عمق مقدارش افزایش پیدا می‌کند، به طوری که به مقدار ثابت $0/016$ در عمق تقریبی 2 متر می‌رسد. این موضوع با نتایج مدل‌سازی یک بعدی و داده‌های صحرایی برابر خوبی دارد.

pH عامل مهمی در کنترل کیفیت زهاب تولیدی در باطله‌های

۶- نتیجه

- نتایج به دست آمده از روش VLF، دو ناحیه با مقاومت ویژه کم که نشان دهنده وجود آلودگی احتمالی در پائین دست انباشت باطله در منطقه است را مشخص کرده است.
- نتایج به دست آمده از مدل سازی عددی یک بعدی فرآیند اکسایش پیریت و همچنین تحلیل نمونه های عمقی تهیه شده از انباشت باطله نشان دادند که، مقدار پیریت باقیمانده در نمونه های سطحی حدود ۵/۸ درصد است. نفوذ اکسیژن تا عمق تقریبی ۱/۵ متر و انجام فرآیندهای اکسایش و شستشو، مقدار پیریت موجود در باطله ها را به تدریج کاهش می دهد. از عمق ۱/۵ متری به پائین به دلیل عدم نفوذ اکسیژن، اکسایش پیریت متوقف شده و پیریت باقیمانده در باطله ها به مقدار اولیه خود یعنی بین ۱/۴ تا ۱/۶ درصد می رسد.

همانگونه که جدول (۲) نشان می دهد، فرآیند اکسایش پیریت در محل انباشت باطله سبب افزایش غلظت برخی از عناصر شده است. بطوری که غلظت یون سولفات (SO_4^{2-}) در عمق ۰/۵ متری به ۳۴۹ میلی اکی والان بر لیتر رسیده و pH این عمق به مقدار ۳/۷ کاهش یافته است. بیشترین غلظت عناصر آهن، منگنز، روی، کروم و کبالت به ترتیب برابر با ۲۷۰، ۲۵۵، ۲۵ و ۱۰ میلی اکی والان بر لیتر در عمق ۲ متر، و بیشترین غلظت منیزیم به ۳۰۴ میلی اکی والان بر لیتر در عمق ۵ متر رسیده است. غلظت مس در سرتاسر پروفیل انتخابی روی محل انباشت باطله مقدار ثابتی (۵ میلی اکی والان بر لیتر) را نشان داد. اسید تولید شده از فرآیند اکسایش پیریت سبب گردیده تا کانی های کربناته در باطله ها بطرور کامل ناپدید شوند که به همین دلیل غلظتی برابر با صفر برای یون CO_3^{2-} به دست آمده است.



شکل (۶): پیش‌بینی مدل دو بعدی پس از یک سال از آغاز مدل سازی برای (الف) مقدار اکسیژن نفوذی به داخل باطله ها، (ب) درصد پیریت باقیمانده در باطله ها، (پ) Fe^{3+} ، (ت) SO_4^{2-} ، (ث) pH ، (ج) غلظت Fe^{2+}

عمق (m)	پارامتر ژئوشیمیایی (m.e/L)														
	pH	Ca	Mg	Na	Fe	Mn	Cu	Zn	Cr	Co	SO_4^{2-}	HCO_3	Cl^-	CO_3^{2-}	$EC \times 10^3 (\mu S/cm)$
۰	۲/۹	۳۶	۳۰	۱۷۰	۹۵	۸۰	۵	۲۰	۲۰	۰	۱۲۸	۲۰	۵	۰	۲۲/۴
۰/۵	۲/۷	۲۸	۲۰۴	۸/۵	۱۱۰	۸۳/۵	۰	۲۵	۰	۰	۳۴۹	۰	۰	۰	۲۵
۱	۴/۱	۲۲	۲۲۴	۷۸/۵	۱۰۰	۶۰	۰	۱۵	۰	۰	۲۲۴	۰	۰	۰	۳۲/۴
۱/۵	۴/۶	۳۲	۲۹	۵۴۵	۱۴۵	۷۸	۰	۴۰	۱۵	۰	۲۹۰	۸۷/۵	۲۲۵	۰	۶۰/۴
۲	۲/۴۳	۴۰	۲۰	۵۳۴	۲۷۰	۱۲۰	۰	۲۷۵	۲۵	۱۰	۲۹۱	۷۵	۲۲۵	۰	۵۹/۲

در جهت عمق مقدار افزایش اکسایش پیدا می کند، به طوری که به مقدار ثابتی ۱/۶ درصد در عمق تقریبی ۲ متر می رسد. این موضوع با نتایج مدل سازی یک بعدی و داده های صحراوی برابر خوبی دارد. pH در اعماق کم به مقدار ۲/۸ می رسد که این ناشی از واکنش اکسیژن با پیریت و تشکیل AMD است. مقدار pH در

نتایج مدل سازی دو بعدی نشان دادند که اکسیژن از مقدار اولیه خود یعنی ۹ مول بر متر مکعب (۰/۰۷ مول بر اتمسفر)، به مقدار کمتر از ۳ مول بر متر مکعب (۰/۰۷ مول بر اتمسفر) در عمق تقریبی ۲ متر می رسد. پیریت در سطح محل انباشت باطله ها به دلیل وجود اکسیژن، به مقدار ۰/۰۶ درصد کاهش یافته است و

از فرآوری مواد معدنی فلزی ریزدانه مورد استفاده قرار گیرد.
* پیشنهاد می‌شود تا یک گمانه در پائین دست محل انباشت باطله‌ها حفر شود و وضعیت گسترش آلودگی در اعماق بیشتر مورد بررسی قرار گیرد.
* نمونه‌برداری و تجزیه آب‌های زیرزمینی از طریق چاه آب شهرک مسکونی مهماندوست، آب‌های سطحی و خاک در پائین-دست محل انباشت باطله‌ها پیشنهاد این تحقیق است.

۷- تقدیر و تشکر

از دانشگاه صنعتی شهرود و شرکت زغالسنگ البرزشرقی به دلیل حمایت از این تحقیق قدردانی می‌گردد.

جهت عمق افزایش می‌یابد و به مقدار زمینه‌اش برابر مقدار تقریبی ۷ می‌رسد. بیشترین مقدار SO_4^{2-} برابر با ۴۰۰ مول بر متر مکعب پیش بینی شده است. مقدار سولفات تولیدی با فرآیندهای فیزیکی مانند پراکندگی، نفوذ مولکولی، پهن‌رفت و بارش جوی به اعماق بیشتر نفوذ کرده و عمل رقیق‌سازی صورت می‌گیرد. غلظت بیشینه تولیدی برای Fe^{+2} (حدود ۳۰۰ $m.e/L$) در مکانی که اکسیژن وجود دارد رخ داده است و در جهت عمق به دلیل نفوذ کم اکسیژن، مقدار آن به شدت کاهش می‌یابد. البته در عمقی که اکسیژن نفوذ دارد، بخشی از Fe^{3+} به Fe^{2+} تبدیل شده است.

* مدل ارائه شده در این مقاله می‌تواند برای پیش‌بینی فرآیندهای اکسایش پپریت و تولید AMD در باطله‌های حاصل از شست و شوی زغالسنگ و هم چنین نرمهای بdst آمده

۸- مراجع

- [۱] Kleinmann, R.L.P.; "Prediction of Water Quality at Surface Coal Mines", The National Mine Land Reclamation Center, pp.73-129, 2001.
 - [۲] Herbert Jr., R.B.; "Metal transport in groundwater contaminated by acid mine drainage", Nordic Hydrology 25, 193-212, 1994.
 - [۳] Singer, P.C.; Stumm, W.; "Acidic mine drainage: The rate determining step", Science 167, 1121-1123, 1970.
 - [۴] Williams, R.E.; Baldwin, J.; Ralston, D.R.; "Coping with mine drainage regulations", Proc. First Int. Mine Drainage Symposium, Denver, Colorado, pp.184 -218, 1979.
 - [۵] Guedes de Carvalho, R.A.; Gonzalez Bega, C.G.; Martins Sampaio, M.N.; Neves, O; Sol Pereira, M.C.; "A study of the drainage of the pyrite mines of Aljustrel (Portugal)", International Journal of Mine Water 5(2), 43-56, 1986.
 - [۶] Rogowski, A.S.; Pionke, H.B.; Broyan, J.G.; "Modelling the impact of strip mining and reclamation processes on quality and quantity of water in mined areas: A review", Journal of Environmental Quality 6 (3), 237-244, 1977.
 - [۷] Cathles, L.M.; Apps, J.A.; "A model of the dump leaching process that incorporates oxygen balance, heat balance and air convection", Metallurgical Transactions B. Volume 6B, 617-624, 1975.
 - [۸] Jaynes, D.B.; Rogowski, A.S.; Pionke, H.B.; "Acid mine drainage from reclaimed coal strip mines, I, Model description", Water Resources Research 20 (2), 233-242, 1984.
 - [۹] Davis, G.B.; Ritchie, A.I.M.; "A model of oxidation in pyritic mine wastes: part 1: Equations and approximate solution", Applied Mathematical Modelling 10 (5), 314-322, 1986.
 - [۱۰] Gerke, H.H.; Molson, J.W.; Frind, E.O.; "Modelling the impact of physical and chemical heterogeneity on solute leaching in pyritic overburden mine spoils", Ecological Engineering 17, 91-101, 2001.
- گروه تهیه گزارشات دفتر فنی اکتشافات؛ اکتشافات تفصیلی منطقه زغالی پشکلات، شرکت زغالسنگ البرز شرقی، ۱۳۸۲ص، ۱۲۵۷.
- [۱۷]
- ABEM Interpretation Guide; "ABEM WADI VLF Interpretation", 1989.
- Ramag instruction manual; "VLF survey planning and interpretation software", 2002.
- [۱۸]
- [۱۹]



- ص. ۱۳۸۲: ۱۰۵۱-۱۰۶۰
Levenspiel, O.; Chemical Reaction Engineering, John Wiley, New York, 1972.
- Elberling, B.; Nicholson, R.V.; Scharer, J.M.; "A combined kinetic and diffusion model for pyrite oxidation in tailings: a change in controls with time", Journal of Hydrology 157(1), 47-60, 1994.
- [۲۳]
- [۲۴]
- Karous, M.; Hjelt, S.E.; "Linear filtering of VLF dip angle measurements", Geophysical Prospecting 39, 567-580, 1989.
- [۲۰]
- زارع، مهدی؛ سلیمانی، اسماعیل؛ دولتی اردگانی، فرامرز؛ مرادزاده، علی؛ "بررسی تغییرات اکسایشی پیریت باطله‌های زغال به روش جذب اتمی". بیست و ششمین گردهمایی علوم زمین، ۲۸ تا ۳۰ بهمن ۸۶، ص. ۱۳۸۶.
- [۲۱]
- عبداللهی، م؛ شهبازی، ب؛ "بررسی پارامترهای مؤثر در حذف مغناطیسی پیریت از زغال‌سنگ طبس با استفاده از طراحی آزمایشها". کنفرانس مهندسی معدن، جلد دوم،
- [۲۲]

۹- زیرنویس‌ها

^۱ Acid mine drainage

^۲ Dump

^۳ Very low frequency